



# مجله علمی پژوهشی مکانیک سازه ها و شاره ها



DOI: 10.22044/jsfm.2019.7301.2677

## تحلیل دینامیکی اتوفریتاژ تحت بارگذاری گذرا در استوانه جدار ضخیم از مواد مدرج تابعی با در نظر گرفتن رفتار کار سختی به روش عددی

سید حسین رضی موسوی<sup>۱</sup>، مجتبی محزون<sup>۲\*</sup>، محمد حسن کدیور<sup>۲</sup> و حسین محمدی<sup>۲</sup><sup>۱</sup> دکترا، دانشکده مهندسی مکانیک، دانشگاه شیراز، شیراز، ایران<sup>۲</sup> استاد، دانشکده مهندسی مکانیک، دانشگاه شیراز، شیراز، ایران<sup>۳</sup> استادیار، دانشکده مهندسی مکانیک، دانشگاه شیراز، شیراز، ایران

مقاله مستقل؛ تاریخ دریافت: ۱۳۹۷/۰۵/۰۳؛ تاریخ بازنگری: ۱۳۹۷/۱۱/۲۳؛ تاریخ پذیرش: ۱۳۹۸/۰۲/۲۸

### چکیده

در این مقاله برای تحلیل دینامیکی پروسه اتوفریتاژ و تعیین تنش پسماند و رفتار هنگام اعمال فشار کاری، از روش عددی استفاده شده است. ابتدا معادلات دینامیکی استخراج شده، سپس معادلات حاصل براساس روش تفاضل محدود به معادلات گسسته تبدیل گردیده است. از معادلات دیفرانسیل حرکت، با توجه به هندسه و شرایط مرزی انتگرال گیری شده، سپس با استفاده از قضیه گوس انتگرال روی سطح با انتگرال روی محیط جایگزین گردیده است. پس از آن، تاثیر بارگذاری گذرا و هندسه با استفاده از برنامه نویسی C++/C برنامه عددی به روش صریح لاغرانژی آمده شده است. پس از آن، تاثیر بارگذاری گذرا و هندسه با استفاده از انتشار امواج تنش الاستوپلاستیک در مواد مدرج تابعی در پروسه اتوفریتاژ، مورد بررسی قرار گرفته است. تنش پسماند ایجاد شده در اثر اعمال فشار داخلی در سیلندرها، باعث تغییر ظرفیت باربری خواهد شد. نتایج برای مواد مدرج تابعی متفاوت خواهد بود که تغییر خواص مکانیکی این مواد به طور پیوسته و تابعی تغییر می‌کند. بی‌بعدسازی در تحلیل دینامیکی در راستای شعاع برخلاف تحلیل‌های استاتیکی تابع پارامترهای دینامیکی بوده و براساس تغییر اندازه هندسی، پاسخ‌های متفاوتی را آشکار می‌سازد.

**کلمات کلیدی:** مواد مدرج تابعی؛ اتوفریتاژ؛ استوانه جدار ضخیم؛ حل عددی گذرا؛ امواج تنش الاستوپلاستیک.

## Dynamic Analysis of Autofrettage under Transient Loading in FG Thick-Walled Cylinder with Work Hardening Behavior Using Numerical Method

S. H. Razi mousavi<sup>1</sup>, Mojtaba Mahzoon<sup>2,\*</sup>, M. H. Kadivar<sup>2</sup>, H. Mohammadi<sup>3</sup><sup>1</sup> Ph.D., Mech. Eng., Shiraz Univ., Shiraz, Iran.<sup>2</sup> Prof., Mech. Eng., Shiraz Univ., Shiraz, Iran.<sup>3</sup> Assist. Prof., Mech. Eng., Shiraz Univ., Shiraz, Iran.

### Abstract

In the present article, a numerical procedure is developed for dynamic analysis of residual stress in the process of autofrettage under working pressure. The governing dynamical equations are discretized using finite difference method. Toward This end, differential equations are integrated and by employing divergence theorem surface integrals are converted to boundary integrals. Finally, the C/C++ numerical programming is prepared using the explicit Lagrangian formalism. The effect of transient loading and geometry is investigated in the process of autofrettage on functionally graded cylinders considering elasto-plastic stress wave propagation. The residual stress resulting from internal pressure changes structural load bearing capacity of the cylinder. For functionally graded materials whose material properties change continuously, dynamical analysis yield results which are entirely different as compared with their static counterparts due to the change in wave length and acoustic impedance. In the static analysis the dimensionless forms of equations can be developed from the onset, while in the dynamic analysis the physical dimensions gain importance due to inherent properties of the stress waves.

**Keywords:** FGMs; Autofrettage; Thick-Walled Cylinder; Transient Numerical Modeling; Elasto-Plastic Stress Wave

## ۱- مقدمه

بماند. پس از برداشتن فشار، برگشت الاستیک لایه‌های خارجی، سبب ایجاد فشردگی در لایه درونی و در نتیجه ایجاد تنش پسماند فشاری می‌شود. تغییر در خواص مواد و مدل‌های مختلف سیلان پلاستیک (منحنی تنش-کرنش) سبب ایجاد تغییر در این تنش پسماند خواهد شد و در نتیجه مقدار افزایش باربری نیز تغییر خواهد کرد [۴].

از کاربردهای روش اتوفریتاز، می‌توان به موارد زیر اشاره کرد: راکتورهای هسته‌ای، انواع لوله‌های سلاح، انژکتور موتورهای دیزل، مخازن تحت فشار یا مسیرهای انتقال سیال در کارخانه‌های تولید مواد شیمیایی و پتروشیمی، دستگاه برش و اتر جت، مسیرهای انتقال سیالات، سیلندرهای هیدرولیک، شیرهای کنترل فشار سرچاهی استخراج نفت، مخازن گاز CNG و نظائر آن.

در موارد ذکر شده، شرایط بارگذاری دینامیکی یا استاتیکی به صورت دمایی و مکانیکی می‌باشند که در پاره‌ای موارد در بازه زمانی کوتاهی رخ می‌دهد که با استفاده از اتوفریتاز، استحکام به وزن یا استحکام به هزینه را می‌توان بهبود داد.

### ۱-۱- مواد مدرج تابعی و انتشار امواج الاستوپلاستیک

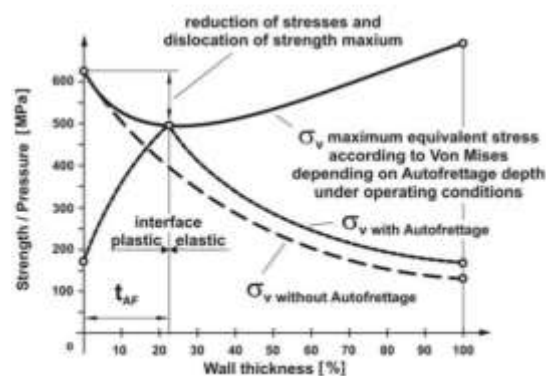
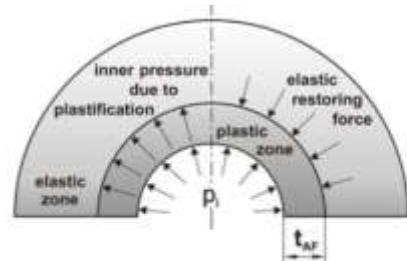
خواص الاستیستیته مؤثر مواد FG توسط ژانگ و همکارانش با استفاده از روش اجزاء محدود با استفاده از نرم‌افزار آباکوس در سال ۱۹۹۸ مورد مطالعه قرار گرفت [۵]. تئوری مرتبه بالا برای مواد مدرج تابعی در سال ۱۹۹۹، توسط پیندرا و ابودی ارائه شد [۶].

تحقیقات زیادی در مورد تحلیل تنش پسماند و تغییر شکل در سیلندرهای جدار ضخیم تحت شرایط اتوفریتاز توسط محققانی همچون، فرانکلین [۷]، چن [۸] و استیسی [۹] انجام گرفته است. پارکر اتوفریتاز در سیلندر جدار ضخیم تحت شرایط مختلف باربرداری را مورد مطالعه قرار داد [۱۰]. لیویری و لازارین، اثر باشینگر در اتوفریتاز را به صورت تحلیلی مورد مطالعه قرار دادند [۱۱].

در سال ۲۰۱۵ بیات و طوسی مدل الاستوپلاستیک برای یک محور توخالی استوانه‌ای از مواد مدرج تابعی تحت پیچش را به صورت تحلیلی ارائه کردند، در این روش از مدل TTO برای مدل الاستوپلاستیک مواد مدرج تابعی استفاده کردند [۱۲]. در سال ۲۰۱۵ کومار و مولیک، اتوفریتاز مخازن

مواد مدرج تابعی در زمرة مواد غیرهمگن است که خواص آنها به طور پیوسته از یک نقطه به نقطه دیگر، در راستای معین تغییر می‌کند. به عبارت دیگر، این مواد به طور تدریجی و پیوسته از ماده‌ایی به ماده دیگر تبدیل می‌شوند [۱]. به طور کلی از هندسه‌های متقارن محوری مانند استوانه و کره در کاربردهای مختلف صنعتی استفاده می‌شود که تحت شرایط بارگذاری فشار یا دما قراردارند. جهت افزایش عمر و قابلیت تحمل شرایط بارگذاری دمایی و مکانیکی بیشتر و کاهش وزن به توانایی تحمل بار، از روش‌هایی همچون اتوفریتاز استفاده می‌شود.

در اتوفریتاز با ایجاد یک ناحیه پلاستیک، می‌توان تنش پسماندی در لایه‌های درونی یا بیرونی ایجاد نمود که تحمل باربری جسم را افزایش دهد [۲]، یک نمونه اثر اتوفریتاز در شکل ۱ نشان داده شده است [۳].



شکل ۱- تنش شعاعی و محیطی در پرسه اتوفریتاز [۳]

اتوفریتاز در تعریف اولیه عبارتست از: اعمال فشار داخلی به اندازه کافی برای ایجاد قسمتی از ناحیه درونی به صورت پلاستیک تا جایی که لایه خارجی در محدوده الاستیک باقی

### ۱-۱- معادلات حرکت

در مختصات استوانه‌ایی  $r-\theta-z$  در حالت متقاضی محوری، جابجایی  $U_r$  و  $V_\theta$  در راستای محورهای مختصات  $r-\theta$ - $r$ - $z$  در نظر گرفته شده و جابجایی  $W_z$  عمود بر صفحه است. معادله دینامیکی حاکم پس از ساده سازی مطابق رابطه (۱) خواهد بود.

$$\begin{cases} \frac{d\dot{r}}{dt} = \frac{1}{\rho} \left( \frac{\partial \sigma_{rr}}{\partial r} + \frac{\partial \sigma_{rz}}{\partial z} + \frac{\sigma_{rr} - \sigma_{\theta\theta}}{r} \right) + r\dot{\theta}^2 \\ \frac{1}{r} \frac{d}{dt} (r^2 \dot{\theta}) = \frac{1}{\rho} \left( \frac{\partial \sigma_{r\theta}}{\partial r} + \frac{\partial \sigma_{z\theta}}{\partial z} + \frac{2\sigma_{r\theta}}{r} \right) \\ \frac{d\dot{z}}{dt} = \frac{1}{\rho} \left( \frac{\partial \sigma_{rz}}{\partial r} + \frac{\partial \sigma_{zz}}{\partial z} + \frac{\sigma_{rz}}{r} \right) \end{cases} \quad (1)$$

در معادله (۱) متغیر  $\rho$  نشان‌دهنده چگالی ناحیه در مختصات موضعی است. برای مواد مدرج تابعی، تغییر خواص مکانیکی سازه در راستای  $z$  به صورت تابعی در نظر گرفته می‌شود.  $\sigma_{ij}$  مولفه‌های تنسور تنش،  $\dot{r}$  و  $\dot{z}$  سرعت در راستای محورهای  $r$  و  $z$  است.

### ۲-۱- قانون پایستگی جرم

قانون پایستگی جرم به صورت  $\frac{dM}{dt} = 0$  است که  $M$  جرم ناحیه است. بر این اساس نسبت حجم به حجم اولیه، حجم نسبی<sup>۲</sup> نامیده می‌شود و به صورت  $V_r = \frac{V}{V_0} = \frac{M/\rho}{M/\rho_0} = \frac{\rho_0}{\rho}$  تعریف می‌شود.

### ۳-۱- مؤلفه‌های نرخ کرنش

مولفه‌های نرخ کرنش در مختصات  $r-\theta-z$  (لاگرانژی) با توجه نرخ کرنش به صورت رابطه (۲) خواهد بود.

$$\begin{cases} \dot{\epsilon}_{rr} = \frac{\partial \dot{r}}{\partial r}, \quad \dot{\epsilon}_{\theta\theta} = \frac{\dot{r}}{r}, \quad \dot{\epsilon}_{zz} = \frac{\partial \dot{z}}{\partial z} \\ \dot{\gamma}_{r\theta} = r \frac{\partial \dot{\theta}}{\partial r}, \quad \dot{\gamma}_{\theta z} = \frac{\partial(r\dot{\theta})}{\partial z}, \quad \dot{\gamma}_{zr} = \frac{\partial \dot{r}}{\partial z} + \frac{\partial \dot{z}}{\partial r} \end{cases} \quad (2)$$

### ۴-۱- مؤلفه‌های نرخ تنش انحرافی

مولفه‌های نرخ تنش انحرافی مطابق رابطه (۳) بیان می‌شود.

استوانه‌ای تحت فشار با مقطع بیضوی در قیاس با حالت بدون اتوفریتاز را با استفاده از نرم افزار Ansys مدل‌سازی کردند [۱۳].

در کلیه تحقیقات انجام شده، روش حل به صورت بارگذاری استاتیکی است و اثر تغییر اندازه هندسه و ایجاد ناحیه پلاستیک تحت شرایط بارگذاری گذرا برای مواد مدرج تابعی، قابل بررسی نبوده است. در این مقاله، تحلیل گذرا برای سیلندرهای جدار ضخیم تحت شرایط اتوفریتاز به صورت عددی و گذرا، مورد بررسی قرار گرفته است و تفاوت آن با مدل‌سازی استاتیکی نیز ارائه می‌شود.

### ۲-۲- روش حل عددی جهت مدل‌سازی اتوفریتاز

در این تحلیل از روش تفاضل محدود صریح لاغرانژی<sup>۱</sup> به صورت گذرا استفاده خواهد شد. در این روش از معادلات دیفرانسیل حرکت با توجه به هندسه و شرایط مرزی، انتگرال‌گیری می‌شود. سپس با استفاده از قضیه گوس، انتگرال روی سطح با انتگرال روی محیط جایگزین می‌شود [۱۳].

### ۲-۳- معادلات دینامیکی حاکم در پروسه اتوفریتاز

در تحلیل تنش پسماند حاصل از اتوفریتاز در سیلندر جدار ضخیم ساخته شده از مواد مدرج تابعی، از روش تفاضل محدود صریح لاغرانژی به صورت گذرا استفاده خواهد شد.

امواج تنش ایجاد شده در ساختار مذکور، به صورت الاستوپلاستیک در نظر گرفته می‌شود. در این روش با جداسازی لایه‌های مختلف مواد مدرج تابعی، سازه به لایه‌های مختلف با خصوصیات مادی متفاوت در هر لحظه تبدیل می‌شود و از مدل‌های سیلان ارائه شده برای مواد مدرج تابعی با در نظر گرفتن کار سختی در این تحلیل استفاده می‌شود. ابتدا معادلات دینامیکی حاکم جهت مدل‌سازی اتوفریتاز بیان می‌شود، سپس معادلات براساس روش تفاضل محدود تفکیک می‌گردد. این معادلات به شرح زیر است.

<sup>2</sup> Relative Volume

<sup>1</sup> Lagrangian Explicit Finite Difference Method

محلي است. کمیت نرخ کرنش برای المان دو بعدی متقارن محوری، مطابق رابطه (۸) خواهد بود.

$$\frac{dS}{dt} = \frac{\partial \dot{z}}{\partial z} \cos^2 \alpha + \frac{\partial \dot{r}}{\partial r} \sin^2 \alpha + \left( \frac{\partial \dot{z}}{\partial r} + \frac{\partial \dot{r}}{\partial z} \right) \sin \alpha \cos \alpha \quad (8)$$

**۹-۲- مدل ترمولاستوپلاستیک برای مواد مدرج تابعی**  
در مواد مدرج تابعی براساس جزء حجمی، مدل های مختلفی ارائه شده است که در آنها تغییرات خواص مکانیکی به صورت تابعی از جزء حجمی است که جزء حجمی برای هندسه استوانه ای در راستای شعاع به صورت  $r_0$  می شود که  $r_0$  شعاع خارجی،  $r_i$  شعاع داخلی،  $r$  موقعیت مکانی شعاعی،  $f_0$  ضریب توزیع،  $V_f$  جزء حجمی و  $n$  توان جزء حجمی است.

پارامترهای مکانیکی برای مواد مدرج تابعی در حالت الاستوپلاستیک مطابق روابط (۹) تا (۱۱) بیان می شود. زیر نویس  $c$  سرامیک و  $m$  فلز،  $V_f$  جزء حجمی براساس سرامیک،  $q_r$  نسبت تنش به کرنش، طبق رابطه  $E_m = (\sigma_c - \sigma_m)/|\epsilon_c - \epsilon_m|$ ،  $\sigma_r = (\sigma_c - \sigma_m)/|\epsilon_c - \epsilon_m|$ ،  $E = (1 - V_f)E_m \frac{q_r + E_c}{q_r + E_m} + V_f E_c$  مدول الاستیسیته،  $\sigma_y$  تنش تسلیم اولیه و  $H$  ضریب ارجاعی مماسی است [۱۴].

$$E = \left[ (1 - V_f)E_m \frac{q_r + E_c}{q_r + E_m} + V_f E_c \right] \times \left[ (1 - V_f) \frac{q_r + E_c}{q_r + E_m} + V_f \right]^{-1} \quad (9)$$

$$\sigma_y = \sigma_{ym} \left[ (1 - V_f) \frac{q_r + E_m}{q_r + E_c} \frac{E_c}{E_m} V_f \right] \quad (10)$$

$$H = \left[ (1 - V_f)H_m \frac{q_r + E_c}{q_r + H_m} + V_f E_c \right] \times \left[ (1 - V_f) \frac{q_r + E_c}{q_r + H_m} + V_f \right]^{-1} \quad (11)$$

### ۳- معادلات گسسته و روش حل

با این روش معادلات مجزا شده در دستگاه لاغرانژی بدست می آید که با حل صریح گذرای معادلات گسسته بدست آمده روی نواحی شبکه، نتایج گذرا برای مدل های مختلف حاصل خواهد شد.

$$\begin{cases} \dot{s}_{rr} = 2\mu \left( \dot{\epsilon}_{rr} - \frac{1}{3} \frac{\dot{V}}{V} \right), & \dot{\sigma}_{r\theta} = \mu \dot{\gamma}_{r\theta} \\ \dot{s}_{\theta\theta} = 2\mu \left( \dot{\epsilon}_{\theta\theta} - \frac{1}{3} \frac{\dot{V}}{V} \right), & \dot{\sigma}_{\theta z} = \mu \dot{\gamma}_{\theta z} \\ \dot{s}_{zz} = 2\mu \left( \dot{\epsilon}_{zz} - \frac{1}{3} \frac{\dot{V}}{V} \right), & \dot{\sigma}_{zr} = \mu \dot{\gamma}_{zr} \end{cases} \quad (3)$$

$(\dot{\sigma}_{zr}, \dot{\sigma}_{r\theta}, \dot{\sigma}_{\theta z}), (\dot{s}_{rr}, \dot{s}_{\theta\theta}, \dot{s}_{zz})$  به ترتیب نرخ تنش انحرافی و نرخ تنش برشی،  $V$  حجم،  $\dot{V}$  نرخ تغییر حجم و  $\mu$  مدول برشی می باشند.

**۵-۲- معادله نرخ فشار**  
معادله نرخ فشار به صورت رابطه (۴) استفاده می شود.  
ضریب  $k$  مدول حجمی و  $\dot{p}$  نرخ تغییر فشار است.

$$\dot{p} = -k \left( \frac{\dot{V}}{V} \right) \quad (4)$$

**۶-۲- مؤلفه های تنش کل**  
مؤلفه های نرمال تنش کل، مطابق رابطه (۵) بیان می شود [۱۶].

$$\begin{cases} \sigma_{rr} = -(p + q) + s_{rr} \\ \sigma_{\theta\theta} = -(p + q) + s_{\theta\theta} \\ \sigma_{zz} = -(p + q) + s_{zz} \end{cases} \quad (5)$$

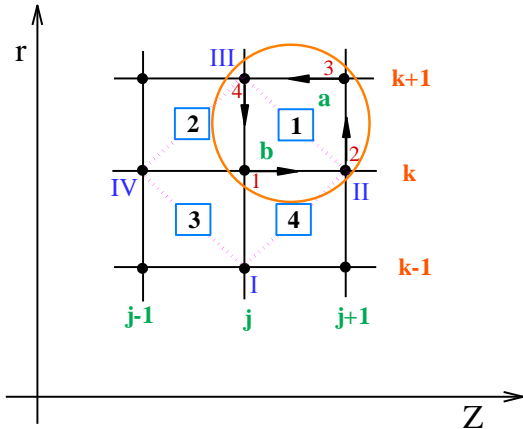
**۷-۲- معیار فون میسز**  
اگر  $Y$  تنش سیلان پلاستیک و  $J_2$  ناوردای دوم تنسور تنش انحرافی باشد، برای سیلان پلاستیک ماده از رابطه (۶) برای چک کردن و تصحیح تنش استفاده می شود.

$$\sqrt{2J_2} - \sqrt{2/3}Y \leq 0 \quad (6)$$

**۸-۲- کل لزجت مصنوعی**  
برای پایداری حل عددی از لزجت مصنوعی استفاده می شود که به صورت رابطه (۷) تعریف می شود.

$$q = c_0^2 \rho L^2 \left( \frac{dS}{dt} \right)^2 + c_L \rho La \left| \frac{dS}{dt} \right| \quad (7)$$

$c_0$  و  $c_L$  ثابت بوده و کمیت  $dS/dt$  نرخ کرنش در جهت بردار شتاب (جهت بردار شتاب در یک المان متقارن محوری،  $L$  پس از محاسبه شتاب به صورت عددی) حاصل می شود.  $a$  اندازه المان که برابر طول حاصل از برخورد بردار شتاب با اضلاع المان،  $a = \sqrt{p/\rho}$  سرعت محلی صوت و  $\rho$  چگالی



شکل ۲- مدل دو بعدی برای استخراج روابط گسسته

### ۱-۳- ناحیه جرم

برای محاسبه مساحت ناحیه ۱ و حجم همین ناحیه در حالت متقارن محوری حول محور z مطابق شکل ۲، از رابطه (۱۲) استفاده می‌شود.

$$\begin{aligned} V_{\boxed{1}} &= \bar{Y}_a A_a + \bar{Y}_b A_b, \quad A_{\boxed{1}} = A_a + A_b \\ \bar{Y}_a &= \frac{1}{3}(r_2 + r_3 + r_4) \\ \bar{Y}_b &= \frac{1}{3}(r_1 + r_2 + r_4) \\ A_a &= \frac{1}{2}[z_2(r_3 - r_4) + z_3(r_4 - r_2) + z_1(r_2 - r_3)] \\ A_b &= \frac{1}{2}[z_2(r_4 - r_1) + z_4(r_1 - r_2) + z_1(r_2 - r_4)] \end{aligned} \quad (۱۲)$$

و  $r_i$  مختصات عمومی گره  $i$  حجم  $V_{\text{Zone}} = 2\pi V_{\boxed{\text{Zone}}}$  واقعی ناحیه دوران یافته حول محور z و A مساحت ناحیه است. a و b نشان دهنده مثلث تشکیل شده درون ناحیه است که در شکل ۲ مشاهده می‌شود. لازم به ذکر است، در محاسبات عددی برای سادگی در کلیه روابط عدد  $2\pi$  به صورت ساده شده از روابط حذف گردیده از این رو از متغیر  $V_{\boxed{1}}$  استفاده شده است

### ۲-۳- معادله حرکت

با توجه به روش گفته شده، معادله حرکت با توجه به شکل ۲ و تعریف ناحیه و نقاط گرهی به عنوان مثال در راستای a مطابق رابطه (۱۳) است.

هندسه به شبکه‌های لاگرانژی تبدیل می‌شود که با جریان در حرکت است. برای یک شبکه، متغیر  $r_{j,k}^{n+\frac{1}{2}}$  نشان دهنده موقعیت  $r$  نقطه  $(j,k)$  در مختصات لاگرانژی و زمان  $t^n$  است. نقاط در زمان بین  $n$  و  $n+1$  به صورت  $r_{j,k}^{n+\frac{1}{2}} = (r_{j,k}^{n+1} + r_{j,k}^n)/2$  سرعت گره  $(j,k)$  را در زمان  $t^{n+\frac{1}{2}}$  بیان می‌کند.

موقعیت و سرعت برای یک ناحیه، در نقاط گره‌های آن ناحیه مقداردهی می‌شوند؛ در صورتی که پارامترهای ترمودینامیکی مثل فشار، حجم و انرژی در مرکز ناحیه شبکه، مقدار دهی می‌شوند. از بازه زمانی  $t^n$  استفاده می‌شود؛ در حالی که برای سرعت‌های یک گره لاگرانژی، از بازه زمانی  $\Delta t^{n+\frac{1}{2}}$  استفاده می‌شود. این بازه زمانی با استفاده از شرط پایداری برای هر دوره زمانی تعیین می‌شود.

مطابق شکل ۲ هندسه متقارن محوری به نقاطی تقسیم‌بندی می‌گردد که پس از اتصال نقاط مشخص شده به یکدیگر شبکه‌بندی چهارضلعی ایجاد می‌شود که در حقیقت شبکه‌بندی خواهیم داشت که ارتباط بین گره‌های کناری کاملاً مشخص است.

در شکل ۲ گره  $(j,k)$  با ۸ گره اطراف آن مشخص شده است که در حقیقت یک گره مشترک در ۴ امانت اطراف آن است. برای گره‌ها از عدد (مثال ۱) و برای ناحیه که با استفاده از ۴ گره ایجاد می‌گردد، از علامت مربع اطراف عدد در فرمول نویسی (مثال ۱) استفاده می‌شود.

هر ناحیه با ۴ گره معرفی می‌شود. برای یک گره مرکزی که با ۴ ناحیه محصور شده است با در نظر گرفتن حرکت پادساعتگرد نواحی از ۱ تا ۴ مشخص می‌گردد. شماره‌های I تا IV به همین ترتیب، مطابق شکل ۲ برای ۴ ناحیه کنار هم و محصور کننده گره مرکزی شماره‌گذاری می‌شود. برای ناحیه ۱ نیز به صورت پادساعتگرد از ۱ تا ۴ گره‌ها شماره‌گذاری شده و به دو ناحیه مثلثی a و b تقسیم می‌شود. همین تقسیم بندی برای سایر نواحی نیز انجام خواهد گرفت.

پارامترهای مورد استفاده در روابط، مطابق روابط (۲۰) تا (۲۲) تعریف می‌شود.

$$A_{\boxed{1}}^{n+\frac{1}{2}} = \frac{1}{2} (A_{\boxed{1}}^{n+1} + A_{\boxed{1}}^n) \quad (20)$$

$$\left(\frac{\dot{V}_r}{V_r}\right)^{n+\frac{1}{2}} = \left(\frac{V_r^{n+1} - V_r^n}{V_r^{n+\frac{1}{2}}} \right) \left(\frac{1}{\Delta t^{n+\frac{1}{2}}} \right) \quad (21)$$

$$V_{r\boxed{1}}^{n+\frac{1}{2}} = \frac{1}{2} (V_{r\boxed{1}}^{n+1} + V_{r\boxed{1}}^n) \quad (22)$$

در نتیجه تغییرات کرنش مطابق روابط (۲۳) تعریف می‌شود. برای سایر نواحی و جهت‌ها، روابط به صورت مشابه بدست می‌آید.

$$(\Delta \varepsilon_{rr})_{\boxed{1}}^{n+\frac{1}{2}} = (\dot{\varepsilon}_{rr})_{\boxed{1}}^{n+\frac{1}{2}} \Delta t^{n+\frac{1}{2}} \quad (23)$$

$$\begin{aligned} \dot{r}_{j,k}^{n+\frac{1}{2}} &= \dot{r}_{j,k}^{n-\frac{1}{2}} + \frac{\Delta t^n}{2 \varphi_{j,k}^n} [(\sigma_{rr})_{\boxed{1}}^n (z_{II}^n - z_{III}^n) \\ &\quad + (\sigma_{rr})_{\boxed{2}}^n (z_{III}^n - z_{IV}^n) + (\sigma_{rr})_{\boxed{3}}^n (z_{IV}^n - z_I^n) \\ &\quad + (\sigma_{rr})_{\boxed{4}}^n (z_I^n - z_{II}^n) - (\sigma_{rz})_{\boxed{1}}^n (r_{II}^n - r_{III}^n) \\ &\quad - (\sigma_{rz})_{\boxed{2}}^n (r_{III}^n - r_{IV}^n) - (\sigma_{rz})_{\boxed{3}}^n (r_{IV}^n - r_I^n) \\ &\quad - (\sigma_{rz})_{\boxed{4}}^n (r_I^n - r_{II}^n)] + \Delta t^n [(\beta)_{j,k}^n] \end{aligned} \quad (13)$$

$\sigma_{ij}$  ( $i = j$ ) مولفه تنسور تنش کل،  $\sigma_{ij}$  ( $i \neq j$ ) مولفه تنسور تنش برشی و  $n$  نشان‌دهنده مقدار کمیت‌ها در زمان  $t^n$  است. سایر پارامترها مطابق روابط (۱۴) تا (۱۶) است.

(۱۴)

$$\begin{aligned} \beta_{j,k}^n &= \frac{1}{4} \left\{ \left[ (\sigma_{rr}^n - \sigma_{\theta\theta}^n) \left( \frac{A^n}{M} \right) \right]_{\boxed{1}} \right. \\ &\quad + \left[ (\sigma_{rr}^n - \sigma_{\theta\theta}^n) \left( \frac{A^n}{M} \right) \right]_{\boxed{2}} \\ &\quad + \left[ (\sigma_{rr}^n - \sigma_{\theta\theta}^n) \left( \frac{A^n}{M} \right) \right]_{\boxed{3}} \\ &\quad \left. + \left[ (\sigma_{rr}^n - \sigma_{\theta\theta}^n) \left( \frac{A^n}{M} \right) \right]_{\boxed{4}} \right\} \end{aligned} \quad (15)$$

$$r_{j,k}^{n+1} = r_{j,k}^n + \dot{r}_{j,k}^{n+\frac{1}{2}} \Delta t^{n+\frac{1}{2}} \quad (16)$$

برای سایر نواحی و جهت‌ها، روابط به صورت مشابه است. مؤلفه تنش انحرافی به صورت رابطه (۲۴) بدست می‌آید. باید توجه کرد که به دلیل چرخش المان، برای تصحیح تنش‌ها مقداری به نام  $\delta$  به تنش‌ها اضافه می‌شود.

$$\begin{aligned} (s_{rr})_{\boxed{1}}^{n+1} &= (s_{rr})_{\boxed{1}}^n \\ &\quad + 2\mu_{\boxed{1}} \left[ \Delta \varepsilon_{rr}^{n+\frac{1}{2}} - \frac{1}{2} \left( \frac{\Delta V_r}{V_r} \right)^{n+\frac{1}{2}} \right]_{\boxed{1}} \\ &\quad + (\delta_{rr})_{\boxed{1}}^n \end{aligned} \quad (24)$$

برای سایر نواحی و جهت‌ها، روابط به صورت مشابه است. اگر یک المان جرمی در صفحه  $z-r$  و بازه زمانی  $\Delta t^{n+\frac{1}{2}} = \Delta t^{n+1} - \Delta t^n$  به اندازه  $\omega_r$  دوران کند، تنش‌هایی که در سیستم مختصات  $z-r$  بیان می‌شود، بایستی در موقعیت جدید خود تصحیح شوند. این تصحیح مطابق رابطه (۲۵) و (۲۶) انجام می‌گیرد.

$$\begin{aligned} \sin(\omega_r) &= \frac{\Delta t^{n+\frac{1}{2}}}{2A_{\boxed{1}}^{n+\frac{1}{2}}} \{ [(\dot{r}_2 - \dot{r}_4)(r_3 - r_1) \\ &\quad - (r_2 - r_4)(\dot{r}_3 - \dot{r}_1)] \\ &\quad - [(\dot{z}_2 - \dot{z}_4)(z_3 - z_1) \\ &\quad - (z_2 - z)(\dot{z}_3 \\ &\quad - \dot{z}_1)] \}_{\boxed{1}}^{n+\frac{1}{2}} \} \end{aligned} \quad (25)$$

$$\begin{aligned} \delta_{rr}^n &= - \left( \frac{s_{zz}^n - s_{rr}^n}{2} \right) (\cos(2\omega_r) - 1) \\ &\quad + \sigma_{zr}^n \sin(2\omega_r) \end{aligned} \quad (26)$$

### ۳-۳- پایستاری جرم

جرم ناحیه ۱ مطابق رابطه (۱۷) محاسبه می‌شود. نسبت چگالی تغییر یافته به چگالی اولیه، مطابق رابطه (۱۸) محاسبه می‌شود.

$$M_{\boxed{1}} = \left( \frac{\rho_0}{V_r^0} V^0 \right)_{\boxed{1}} \quad (17)$$

$$V_{r\boxed{1}}^{n+1} = \left( \frac{\rho_0}{M_{\boxed{1}}} V^{n+1} \right) \quad (18)$$

### ۴-۳- مؤلفه‌های نرخ کرنش

$$\begin{aligned} \text{مؤلفه‌های نرخ کرنش برای } \dot{\varepsilon}_{rr} &= \text{ مطابق رابطه (۱۹) است.} \\ (\dot{\varepsilon}_{rr})_{\boxed{1}}^{n+\frac{1}{2}} &= - \frac{1}{2A_{\boxed{1}}^{n+\frac{1}{2}}} [(\dot{r}_2 - \dot{r}_4)(z_3 - z_1) \\ &\quad - (z_2 - z_4)(\dot{r}_3 - \dot{r}_1)]_{\boxed{1}}^{n+\frac{1}{2}} \end{aligned} \quad (19)$$

غیر فیزیکی، از لزجت مصنوعی استفاده شده است [۱۵] و [۱۶].

#### ۴- صحه‌گذاری روش حل با محاسبه تنش پسماند

۱-۴- صحه‌گذاری و قیاس نتایج تنش پسماند ارائه شده با روش حل کنونی

برای صحه‌گذاری برنامه عددی تهیه شده، تحلیلی براساس نتایج ارائه شده، انجام شده است. در این مدلسازی سیلندر تحت شرایط اتوفریتاز قرار دارد، خصوصیات هندسی و مکانیکی برای ماده NiCrMoV125 عبارتست از:

$$(r_i = 14.60 \text{ cm}, r_o = 30.50 \text{ cm})$$

$$\rho = 7800.00 \text{ kg/m}^3, E = 268.0 \text{ GPa}, v = 0.29,$$

$$Y = 700.0 \text{ MPa}, H = 75 \text{ GPa}, n = 1.0$$

ابتدا فشار 736 MPa به مدت 5 ms به ناحیه درونی سیلندر وارد شده سپس در مدت 5 ms فشار برداشته می‌شود. به دلیل انتشار امواج تنش در راستای شعاع سیلندر و برهم کنش در زمان‌های مختلف مدت زمانی نیاز است تا تنش به حالت پایدار برسد. نتایج حاصل از روش حل عددی ارائه شده با نتایج تحقیقات در شکل ۳ مورد قیاس قرار گرفته است. نمودار شکل ۳ هم‌خوانی خوبی با نتایج ارائه شده و نتایج تحلیل عددی را نشان می‌دهد.

#### ۴-۲- بررسی اثر مدلسازی دینامیکی در قیاس با روش استاتیکی

جهت تحلیل پاسخ مدلسازی دینامیکی و قیاس تفاوت‌های این روش با حل استاتیکی در پروسه اتوفریتاز، خواص هندسی و مکانیکی سیلندر را به صورت زیر در نظر می‌گیریم.

$$(r_i = 0.150 \text{ cm}, r_o = 0.475 \text{ cm})$$

$$\rho = 7800.00 \text{ kg/m}^3, E = 200.0 \text{ GPa}, v = 0.3,$$

$$Y = 280.0 \text{ MPa}, H = 0.22698 \text{ GPa}, n = 0.43$$

با توجه به مقادیر تنش انحرافی محاسبه شده در روابط، مؤلفه‌های تنش کل به صورت رابطه (۲۷) نوشته می‌شود.

$$(\sigma_{rr}^{n+1})_{\boxed{1}} = (s_{rr})_{\boxed{1}}^{n+1} + \left( p^{n+1} + q^{n+\frac{1}{2}} \right)_{\boxed{1}} \quad (27)$$

$p$  فشار هیدرواستاتیک و  $q$  لزجت مصنوعی است. برای سایر نواحی و جهت‌ها به طریق مشابه خواهد بود.

#### ۶-۳- معیار تنش فون میسز و کرنش پلاستیک

رابطه فون میسز برای چک کردن سیلان ماده به صورت روابط (۲۸) و (۲۹) نوشته می‌شود.

$$2J^{n+1} = (s_{zz}^{n+1})^2 + (s_{rr}^{n+1})^2 + (s_{\theta\theta}^{n+1})^2$$

$$+ 2[(\sigma_{zr}^{n+1})^2 + (\sigma_{r\theta}^{n+1})^2 + (\sigma_{\theta z}^{n+1})^2] \quad (28)$$

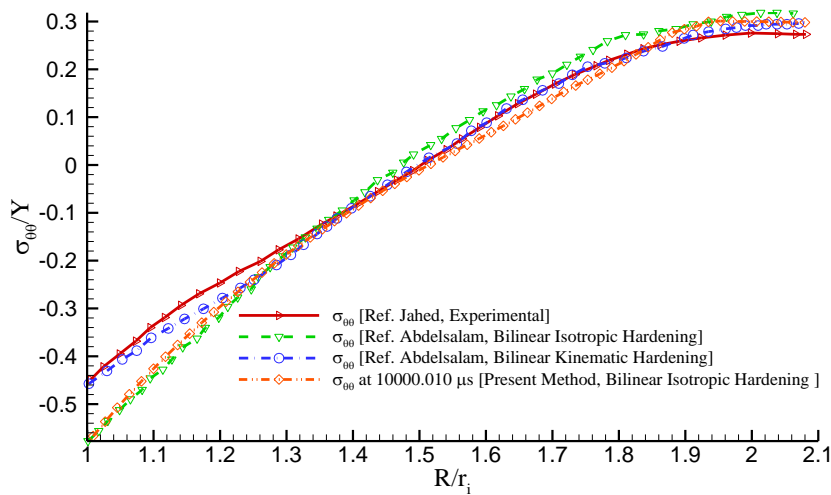
$$m^{n+1} = \sqrt{\frac{2}{3} \frac{(Y^0)^n}{\sqrt{2J^{n+1}}}} \quad (29)$$

در رابطه (۲۸)  $Y^0$  تنش سیلان است که از معادله ترکیبی رفتار ماده بدست می‌آید. اگر  $1 \geq m^{n+1} \geq 0$  باشد، هر یک از تنش‌های انحرافی به عنوان مقدار اولیه برای مرحله بعدی، استفاده می‌شود. اگر  $1 < m^{n+1} < \infty$  هر یک از تنش‌های انحرافی را در  $m^{n+1}$  ضرب کرده و برای مرحله بعدی به کار برده می‌شود، تغییر کرنش پلاستیک با تعریف  $m^{n+1}$ ، مطابق رابطه (۳۰) تعریف می‌شود.

$$(\Delta\varepsilon^p)^{n+1} = \left( \frac{1}{m^{n+1}} - 1 \right) \left( \frac{Y^0}{3\mu} \right)^n \quad (30)$$

#### ۷-۳- شرایط مرزی و بارگذاری

برای مدلسازی هندسه با شرایط مرزی فشار زمانمند در پروسه اتوفریتاز در مرز ناحیه‌ای غیرحقیقی در نظر گرفته می‌شود و در این حالت در مرکز المان فشار گذرا اعمال شده و در معادله حرکت برای آن نواحی مقادیر شرایط مرزی اعمال می‌شود. برای قیود مرزی کناری و گوشه‌ای در راستای محور  $r$  از قید مرزی معین در محور  $r$  و سطح آزاد استفاده می‌شود. جهت پایدارسازی و جلوگیری از نوسانات



شکل ۳- منحنی قیاس تنش پسماند حاصل از نتایج آزمایشگاهی، عددی و روش حل کنونی [۱۳ و ۱۴]

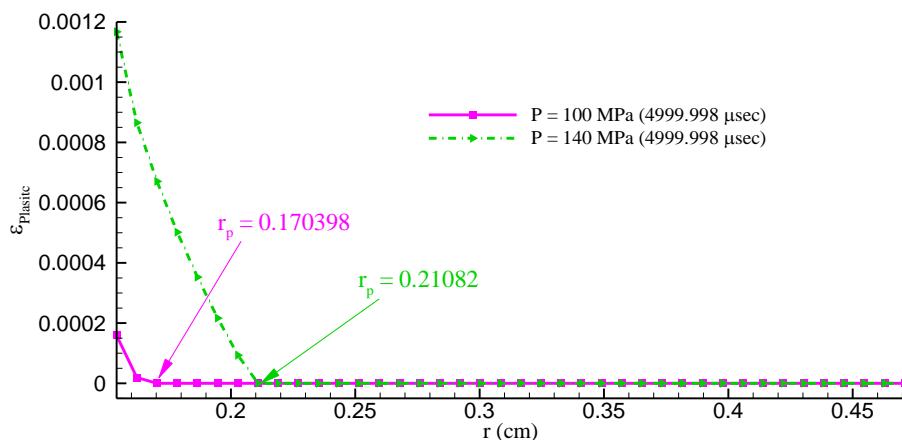
استاتیکی با این نرم افزار برای فشار ۱۴۰ MPa ۱۷۰ نشان داده شده است. همانگونه که مشاهده می‌گردد، توزیع تنش کاملاً متفاوت بوده و تغییر شکل در این محدوده فشار کاملاً در محدوده الاستیک است.

پس از مشاهده نتایج تحلیل استاتیکی همین مدلسازی به صورت دینامیکی با استفاده از نرم افزار آباکوس هم انجام شده است و نتایج با روش حل کنونی، مورد قیاس قرار گرفته است.

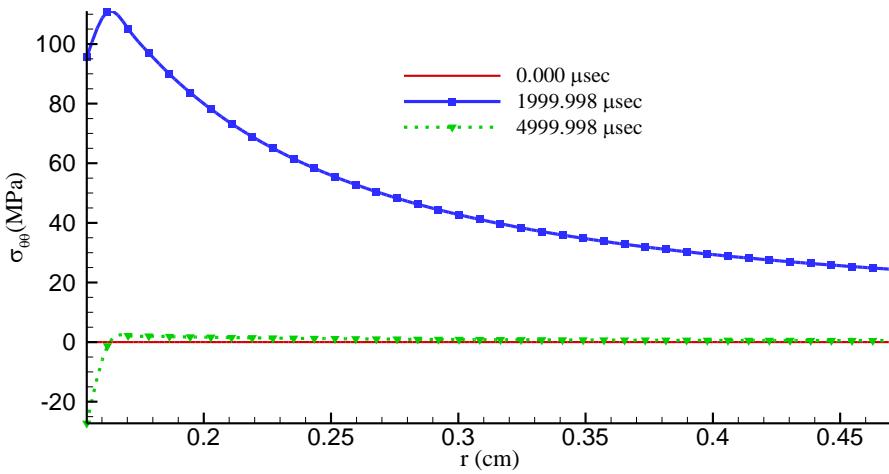
در شکل ۸ نتایج کرنش پلاستیک تحت شرایط بارگذاری گذرا نشان داده شده است و مشاهده می‌شود که در تحلیل دینامیکی ناحیه کرنش پلاستیک ایجاد می‌شود.

جهت نشان دادن نتایج دینامیکی در قیاس با نتایج استاتیکی در این مدل با اعمال فشار درونی از ۱۰۰ MPa تا ۱۴۰ MPa رفتار در حالت استاتیکی و دینامیکی بررسی می‌شود. پس از اعمال فشار درونی به صورت گذرا، کرنش پلاستیک ایجاد می‌گردد که برای لایه میانی در راستای شعاع نتایج کرنش مطابق شکل ۴ است. در شکل‌های ۵ و ۶ توزیع تنش محیطی در راستای شعاع بر حسب زمان نشان داده شده است.

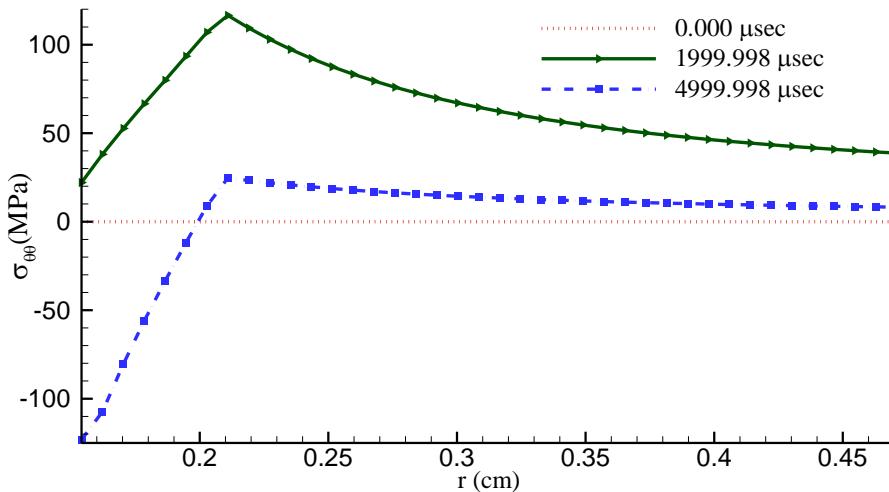
نتایج تحلیل با استفاده از روش اجزاء محدود و نرم افزار آباکوس در دو حالت استاتیکی و دینامیکی برای همین مساله انجام گرفته است [۱۷]. در شکل ۷ نتایج حاصل از تحلیل



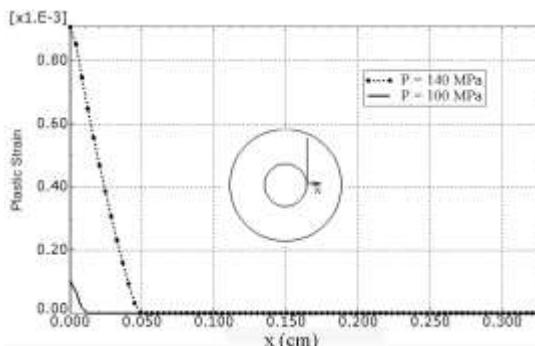
شکل ۴- محدوده پلاستیک ایجاد شده برای حالت بارگذاری گذرا به روش حل کنونی



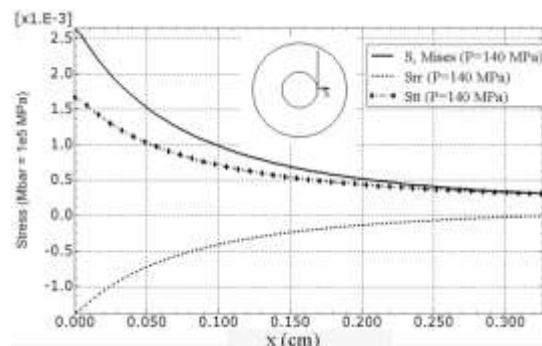
شکل ۵- توزیع تنش محیطی برای حالت بارگذاری گذرا  $P=100$  MPa به روش حل کنونی



شکل ۶- توزیع تنش محیطی برای حالت بارگذاری گذرا  $P=140$  MPa به روش حل کنونی



شکل ۸- کرنش پلاستیک حاصل از تحلیل دینامیکی با نرم افزار اجزاء محدود آباکوس



شکل ۷- توزیع تنش در حالت تحلیل استاتیکی برای  $P=140$  MPa با نرم افزار اجزاء محدود آباکوس

ماده مدرج تابعی را به صورت ترکیبی از ماده فلزی NiCrAlY و ماده سرامیکی PSZ در نظر می‌گیریم. خواص مکانیکی عبارتست از:

$$\rho_m = 7800.00 \text{ kg/m}^3, E_m = 56.0 \text{ GPa}, v_m = 0.25,$$

$$Y_m = 106.0 \text{ MPa}, H_m = 12 \text{ GPa}, n = 1.0$$

$$\rho_c = 2370.00 \text{ kg/m}^3, E_c = 80, v_c = 0.25,$$

$$H_c = 80 \text{ GPa}, n = 1.0, q_r = 17.2 \text{ GPa}$$

توضیح اینکه برای تعیین موقعیت در راستای شعاعی باقیمانده داخلی به اعداد محور افقی اضافه گردد. در این حالت شعاعی که در آن کرنش پلاستیک برابر صفر می‌شود برابر است با

$$r_p (P = 100) = 0.15 + 0.0202989 = 0.1702989 \text{ cm}$$

$$r_p (P = 140) = 0.15 + 0.061023 = 0.211023 \text{ cm}$$

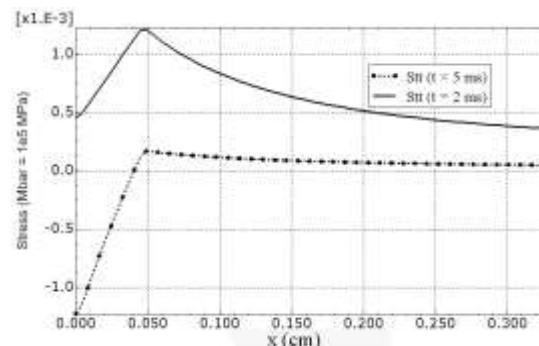
در شکل ۹ توزیع تنش با حل دینامیکی در نرم‌افزار اجزاء محدود ارائه شده است.

#### ۱-۵- سیلندر با مشخصات هندسی $r_i = 10 \text{ cm}$ $r_o = 20 \text{ cm}$

در این حالت برای مواد مدرج تابعی، از ترکیب لایه درونی فلزی و لایه بیرونی سرامیک استفاده می‌شود. تغییر فشار داخلی جهت اتوفریتاژ از ۶۰ MPa تا ۹۰ MPa در نظر گرفته می‌شود. فشار کاری ۴۰ MPa اعمال می‌شود. این فشار کاری در حالت عادی در محدوده تغییر شکل الاستیک است. در شکل ۱۱ نحوه اعمال فشار اتوفریتاژ و فشار کاری بر حسب زمان نشان داده شده است.

با اعمال بارگذاری و باربرداری به دلیل ایجاد ناحیه درونی پلاستیک تنش پسماندی ایجاد می‌شود که پس از اعمال فشار کاری توزیع تنش، مورد بررسی قرار می‌گیرد. در شکل ۱۲ و شکل ۱۳، توزیع کرنش پلاستیک در راستای ضخامت پس از اتمام پروسه اتوفریتاژ بر حسب پارامترهای ماده مدرج تابعی و فشار متفاوت نشان داده شده است.

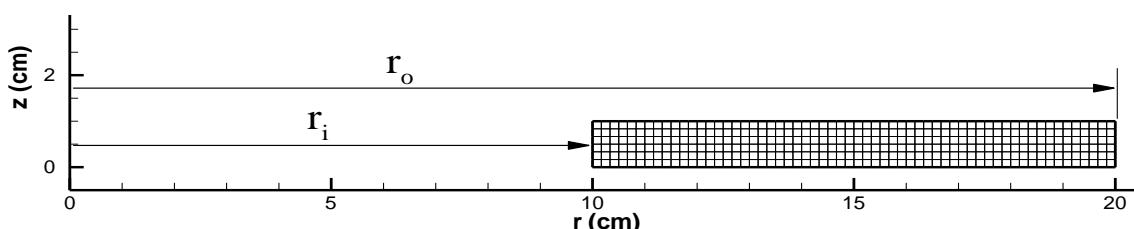
تنش محیطی در زمان اعمال فشار اتوفریتاژ برای پارامترهای متفاوت مواد مدرج تابعی، در شکل ۱۴ ارائه شده است.



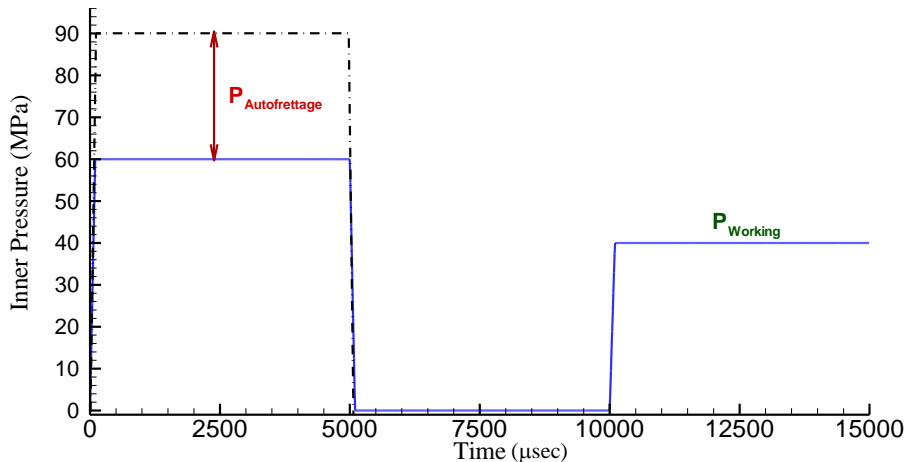
شکل ۹- توزیع تنش در حالت  $P=140 \text{ MPa}$  و گذرا با نرم‌افزار آباکوس

#### ۵- نتایج تحلیل دینامیکی اتوفریتاژ در سیلندر ساخته شده از مواد مدرج تابعی

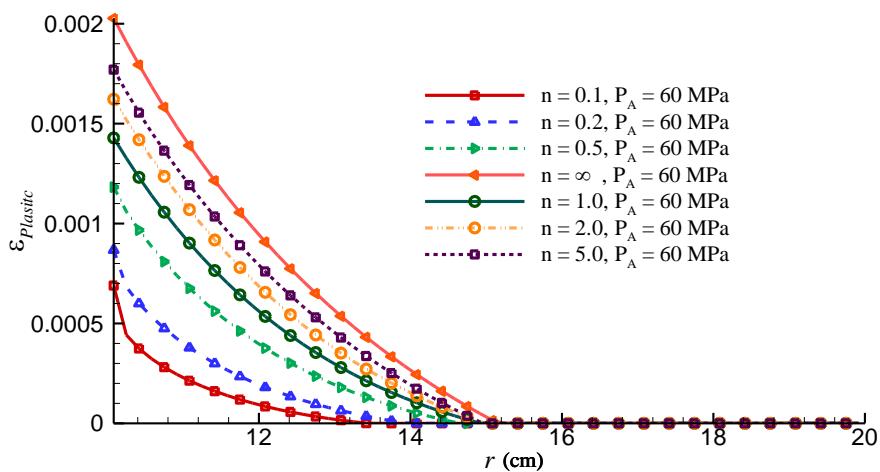
سیلندر استوانه‌ای با تقارن محوری حول محور z مطابق با شبکه‌بندی شکل ۱۰ در نظر می‌گیریم. برای بررسی اثر هندسه واقعی دو حالت در نظر گرفته می‌شود.



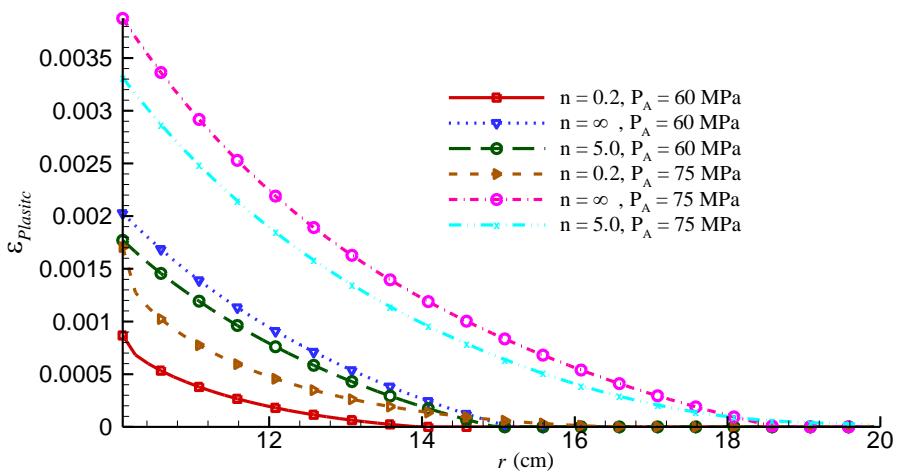
شکل ۱۰- هندسه شبکه بندی شده برای تحلیل اتوفریتاژ



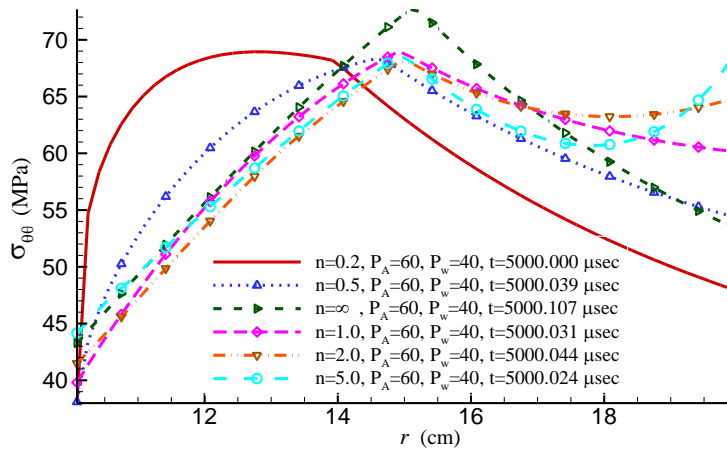
شکل ۱۱- نحوه اعمال فشار اتوفریتاز و فشار کاری



شکل ۱۲- توزیع کرنش پلاستیک برای مواد مدرج تابعی و فشار یکسان



شکل ۱۳- توزیع کرنش پلاستیک برای مواد مدرج تابعی و فشار متفاوت



شکل ۱۴- توزیع تنش محیطی در زمان ۵ ms برای ضرایب مختلف مواد مدرج تابعی

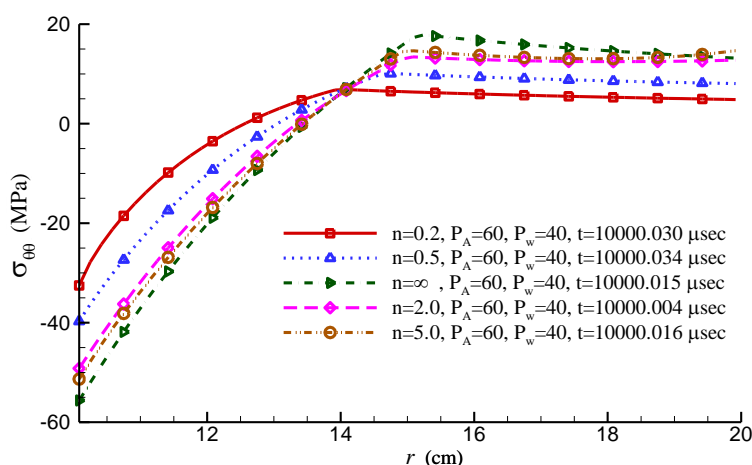
داد. در شکل ۱۷ توزیع تنش پس از اتوفریتاژ و اعمال فشار کاری نشان داده شده است.

توزیع تنش فون میسر در زمان اعمال فشار اتوفریتاژ با در نظر گرفتن کار سختی برای مواد مدرج تابعی، در شکل ۱۸ ارائه شده است. در صورتی که فشار اتوفریتاژ تغییر کند، توزیع تنش فون میسر متفاوت بوده و به صورت نمودار شکل ۱۹ خواهد بود. در حالتی که فشار کاری پس از پروسه اتوفریتاژ اعمال گردد، توزیع تنش فون میسر براساس پارامترهای ماده مدرج تابعی مطابق شکل ۲۰ خواهد بود.

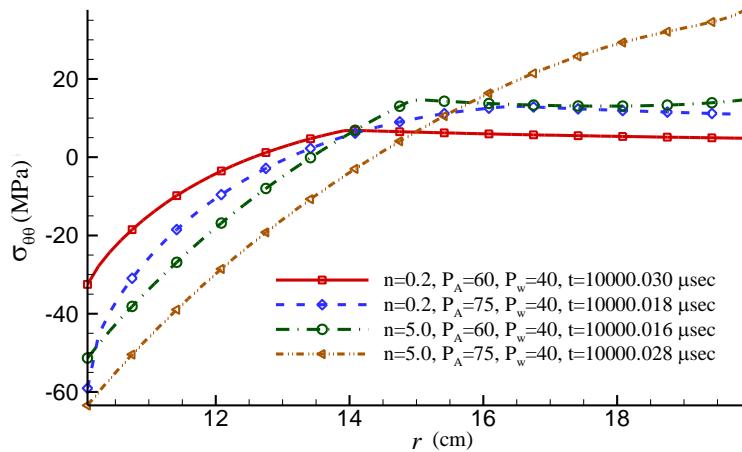
در شکل ۱۵ تنش پسماند ناشی از اتوفریتاژ در زمان ۱۰ ms نشان داده شده است. همانگونه که مشاهده می‌شود، توزیع تنش پسماند در ناحیه درونی و بیرونی برای ضرایب مختلف متفاوت است.

در صورتی که فشار اتوفریتاژ تغییر کند، توزیع تنش پسماند هم چهار تغییر می‌شود که در شکل ۱۶ این تغییرات ارائه شده است.

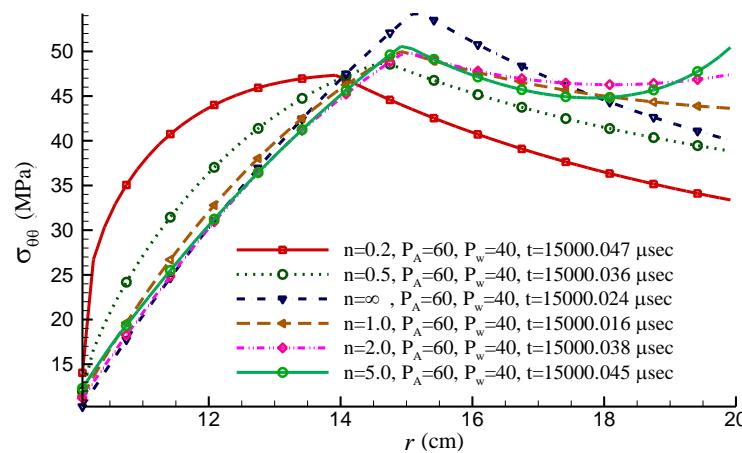
پس از اتوفریتاژ فشار کاری ۴۰ MPa اعمال می‌شود که در اثر تنش پسماند موجود توزیع تنش محیطی کاملاً متفاوت بوده و در نتیجه باعث تغییر در تنش معادل فون میسر شده که در مجموع ظرفیت باربری را افزایش خواهد



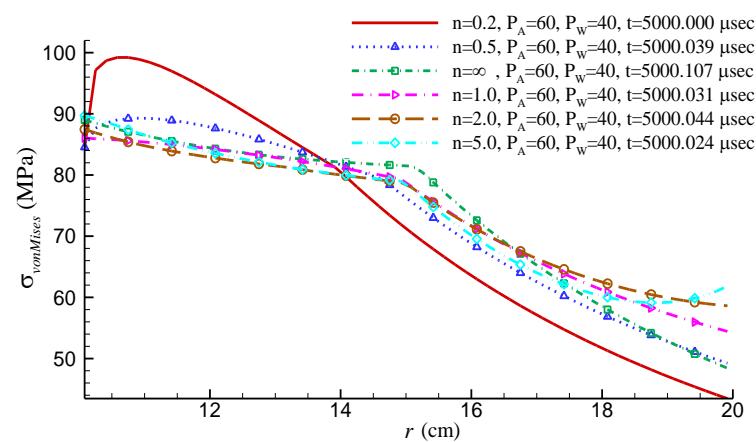
شکل ۱۵- توزیع تنش محیطی پسماند در زمان ۱۰ ms



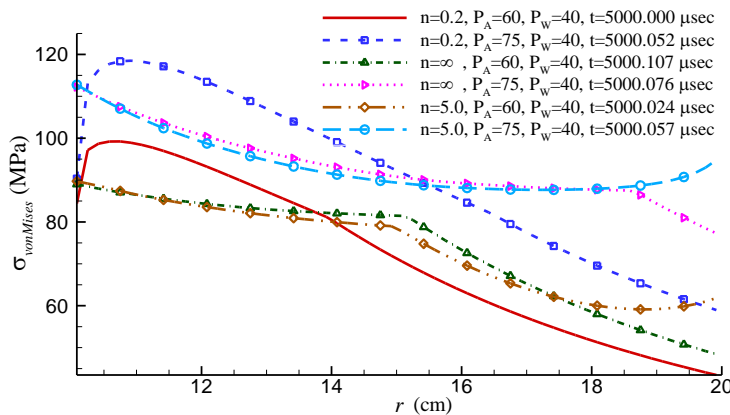
شکل ۱۶- توزیع تنش محیطی بسماند با تغییر فشار اتوفریتاژ



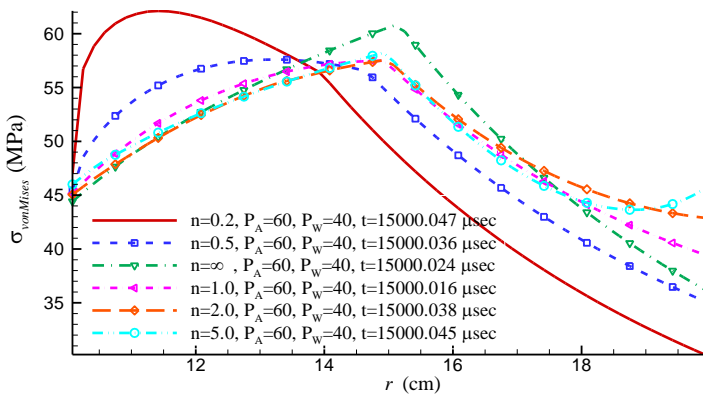
شکل ۱۷- توزیع تنش حاصل از فشار کاری پس از اتوفریتاژ



شکل ۱۸- توزیع تنش فون میسز در بروسه اتوفریتاژ با فشار یکسان



شکل ۱۹- توزیع تنش فون میسز در پروسه اتوفریتاز با فشار متفاوت



شکل ۲۰- توزیع تنش فون میسز در هنگام اعمال فشار کاری در پروسه اتوفریتاز

نشان داده شده است. در شکل ۲۵ و شکل ۲۶، تنش محیطی پسماند در شرایط مختلف مشخصات مواد مدرج تابعی در راستای شعاع نشان داده شده است.

**۶- نتیجه‌گیری**  
اتوفریتاز در سیلندرها باعث کاهش فشار محیطی در نواحی درونی سیلندر می‌شود. در مواد مدرج تابعی همانگونه که مشاهده شد، براساس ضریب توزیع و نحوه ترکیب، محدوده کرنش پلاستیک و توزیع تنش‌ها در راستای شعاع متفاوت است. این نتایج در تحلیل استاتیکی و دینامیکی نیز، تفاوت‌هایی دارد که علت آن تغییر ضریب امپدانس اکوستیکی و تاثیر آن در بر هم کنش امواج تنش است. در نتیجه برای یک شرایط بارگذاری می‌توان ترکیبی از مواد

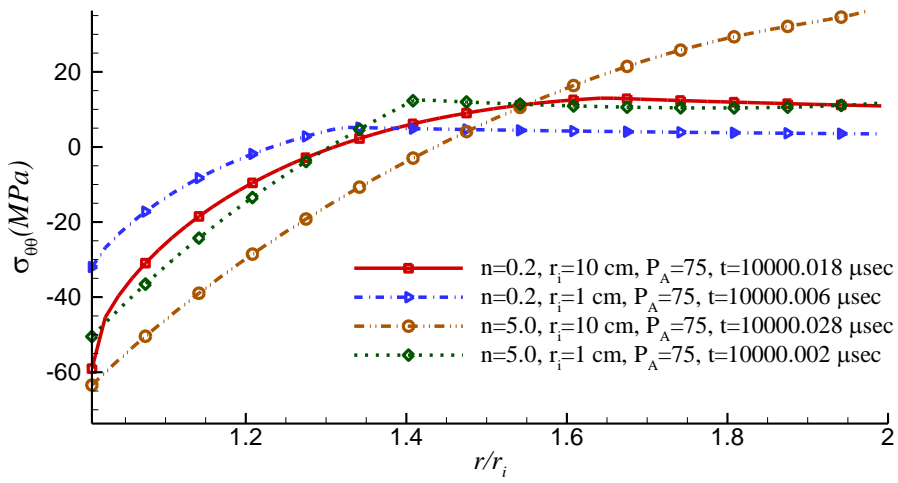
۲-۵- سیلندر با مشخصات هندسی  $r_i = 1 \text{ cm}$

$$r_0 = 2 \text{ cm}$$

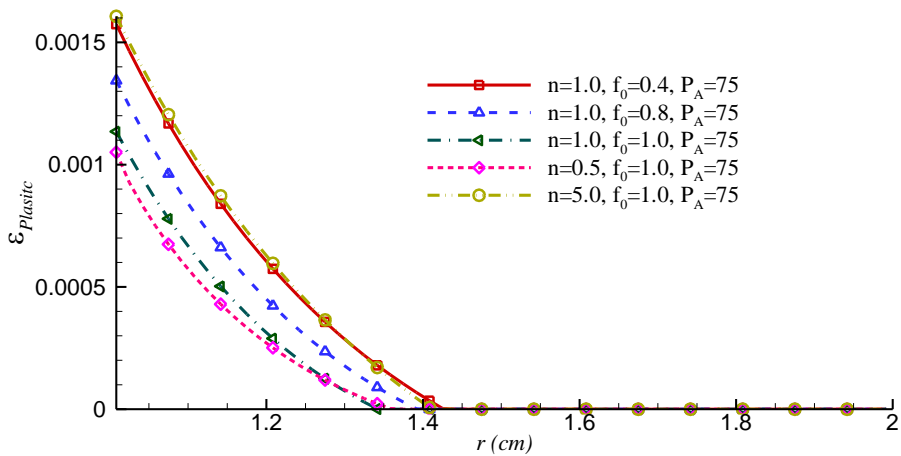
جهت بررسی اثر هندسه، شعاع داخلی و خارجی برای این حالت، یک دهم حالت قبل در نظر گرفته می‌شود. تفاوت تنش پسماند در حالت اول و دوم (پس از تغییر اندازه واقعی شعاع درونی و ثابت نگهداشت نسبت شعاع خارجی به داخلی) با بی‌بعد کردن شعاع در شکل ۲۱ نشان داده شده است.

در صورتیکه ضرایب توزیع  $f_0$  برای ماده مدرج تابعی تغییر کند، محدوده شعاع پلاستیک نیز تغییر خواهد کرد که این تغییرات در شکل ۲۲ نشان داده شده است.

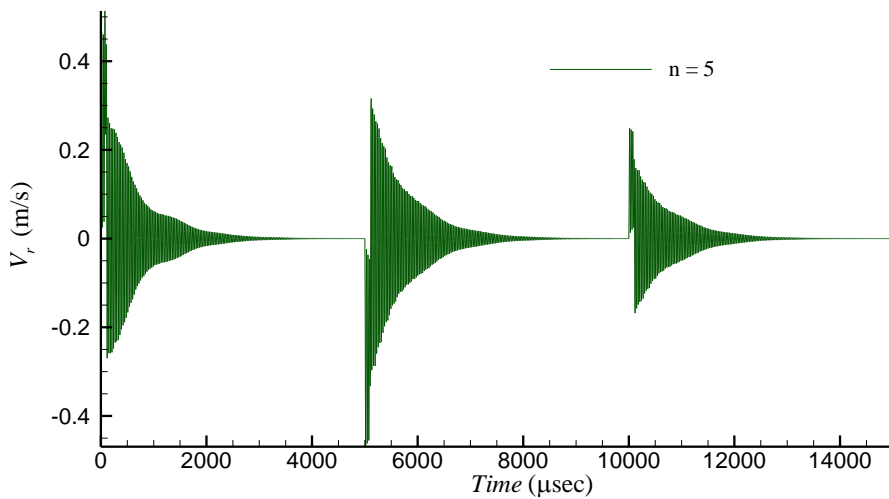
تغییرات سرعت ذره برای شعاع درونی و ماده مدرج تابعی با  $n=5$  در پروسه اتوفریتاز و باربرداری و اعمال فشار کاری در شکل ۲۳ و ناحیه بزرگنمایی شده در شکل ۲۴



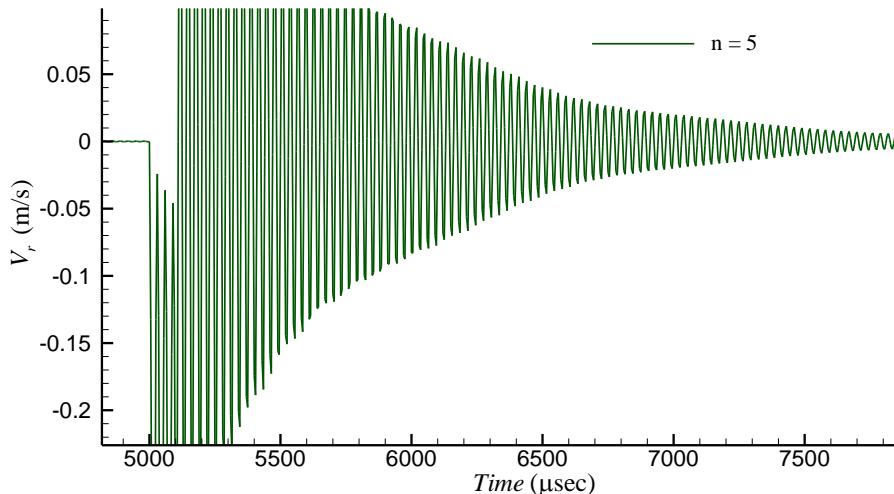
شکل ۲۱- قیاس اثر هندسه واقعی در توزیع تنش پسماند



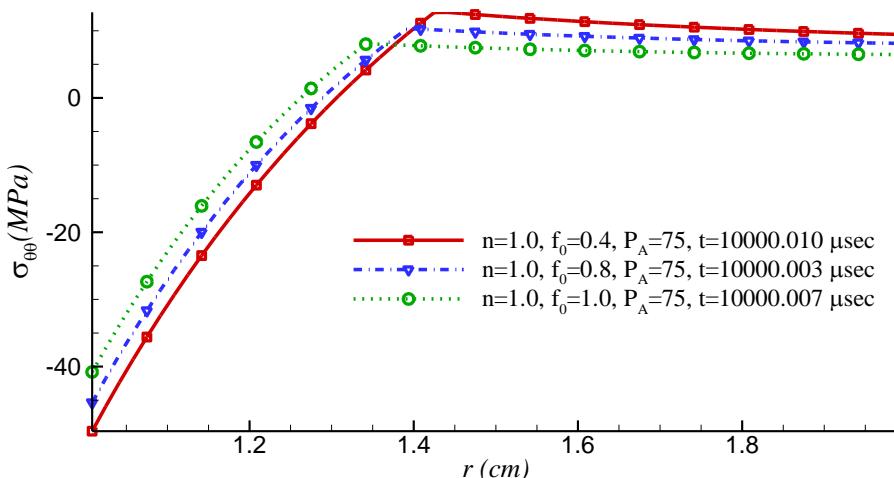
شکل ۲۲- تغییر محدوده کرنش پلاستیک براساس ضریب توزیع



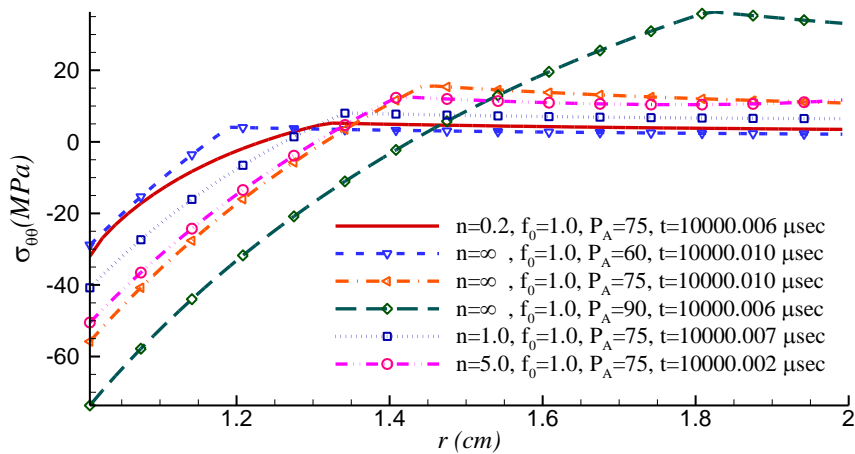
شکل ۲۳- سرعت ذره برای شعاع درونی و  $n=5$



شکل ۲۴- بزرگنمایی سرعت ذره در شکل ۲۳



شکل ۲۵- توزیع تنش محیطی پسماند برای ضریب توزیع متغیر



شکل ۲۶- توزیع تنش محیطی پسماند برای فشار اتوفریتاز متغیر

- [7] Franklin GJ, Morrison JLM (1960) Autofrettage of cylinders: Prediction of pressure, external expansion curves and calculation of residual stresses. *Proc Inst Mech Eng* 174: 947-974.
- [8] Chen PCT (1986) Stress and deformation analysis of autofrettaged high pressure vessels. ASME special publication PVP. ASME United Engineering Center, New York.
- [9] Stacey A, Webster GA (1988) Determination of residual stress distributions in autofrettaged tubing. *Int J Pres Ves Pip* 31: 205-220.
- [10] Parker AP, Underwood JH (1998) Influence of the bauschinger effect on residual stress and fatigue lifetimes in autofrettaged thick-walled cylinders. *Am Soc Test Mater* 29: ASTM STP 1321.
- [11] Livieri P, Lazzarin P (2002) Autofrettaged cylindrical vessels and bauschinger effect: an analytical frame for evaluating residual stress distributions. *J Press Vess-T ASME* 124: 38-45.
- [12] Bayat Y, Ekhteraei Toussi H (2015) Elastoplastic torsion of hollow FGM circular shaft. *Journal of Computational and Applied Research in Mechanical Engineering* 4(2): 165-180.
- [13] Moulick M, Kumar S (2015) Comparative stress analysis of elliptical and cylindrical pressure vessel with and without Autofrettage consideration using finite element method. *Int J Adv Eng Res Stud E* ISSN2249-8974.
- [14] Kalali AT, Hadidi-Moud S (2013) A semi-analytical approach to elastic-plastic stress analysis of FGM pressure vessels. *Journal of Solid Mechanics* 5: 163-173.
- [15] Wilkins ML (1980) Use of artificial viscosity in multi-dimensional fluid dynamic calculations. *Journal of Computational Physics*. Vol. 36, pp. 281-303, 1980.
- [16] Caramana EJ, Shashko MJ (1998) Elimination of artificial grid distortion and hourglass-type motion by means of lagrangian subzonal masses and pressure. *J Comput Phys* 142: 142-521.
- [17] ABAQUS 6.14 user manual, Dassault Systemes, 2014.

مدرج تابعی را انتخاب کرد که تحت شرایط کاری دارای بیشترین تنفس پسماند محیطی در شعاع درونی و کمترین تنفس کششی در شعاع بیرونی سیلندر باشد. نتایج دینامیکی نشان دهنده این موضوع است که هرچه اندازه هندسی جسم بزرگتر شود، به دلیل زمان طولانی تر برگشت موج تنفس و اثر برهم کنش تنفسها، رفتار جسم به سمت شرایط استاتیکی نزدیکتر می شود؛ اما در حالت کلی کلیه پارامترهای دینامیکی از جمله زمان بارگذاری و خواص مواد همچنین اندازه واقعی هندسه در پاسخها نقش خواهد داشت؛ بنابراین چنانچه نتایج بخواهد در قالب آنالیز ابعادی ارائه شود، بایستی نقش پارامترهای دینامیکی و خواص آکوستیکی در تنظیم پارامترهای بدون بعد لحاظ شود.

#### - مراجع

- [1] Suresh S, Mortensen A (1998) Functionally Graded Materials. London. UK IOM Communication Limited.
- [2] Bhatnagar RM (2013) Modeling, validation and design of autofrettage and compound cylinder. *Eur J Mech A-Solid* 39: 17-25.
- [3] Trieb F, Poelzl J (2005) Autofrettage – basic information and practical application on components for waterjet cutting. WJTA American Waterjet Conference. Houston, Texas, August 21-23.
- [4] Abdelsalam OMRY (2012) Analysis and optimization of autofrettaged and shrink-fitted compound cylinders under thermo-mechanical loads. PhD Thesis. Concordia University, Montreal, Quebec Canada.
- [5] Grujicic M, Zhang Y (1998) Determination of effective elastic properties of functionally graded materials using voroni cell finite element method. *Mater Sci Eng* 251: 64-76.
- [6] Aboudi J, Pindera M, Arnold SM (1999) Higher-order theory for functionally graded materials. *Compos Part B-Eng* 30: 777-832.